

Úvodní přednáška

“Direct Approach” to FEM

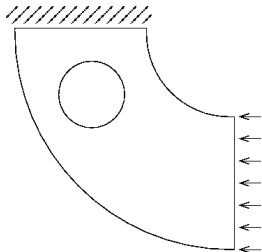
Úvod do Metody Konečných Prvků (MKP)

- ▶ Většina fyzikálních jevů může být popsána systémem parciálních diferenciálních rovnic.
- ▶ Analytické řešení klasickými metodami pro obecné oblasti je velmi obtížné či prakticky nemožné.
- ▶ MKP (Finite Element Method - FEM¹) je nejčastěji užívaná, systematická a univerzální metoda pro numerické řešení problémů.

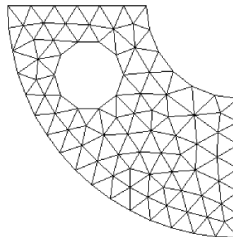
¹Google “FEM” > 14 mil. odkazů, > 500 knih o MKP, výdaje > 1 mld.

Idea MKP

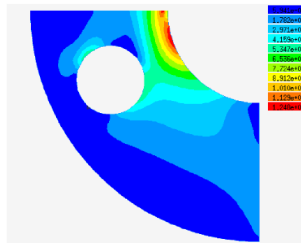
Problém, diferenciální rovnice



Rozdělení oblasti na konečné prvky



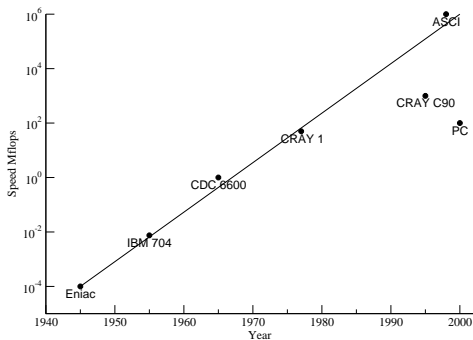
Aproximační, "slabé" řešení



Historie MKP

- 1943 Courant - aplikace variačních principů, položil základ matematické teorie MKP
- 1950 první inženýrská aplikace v letectví, Boeing&Bell. M.J.Turner, R.W.Clough (→ Berkeley), M.C.Martin publikovali jeden z prvních článků.
- ▶ Berkeley: E. Wilson, R.L.Taylor a jejich PhD studenti: T.J.R. Hughes, C. Felipa, K.J. Bathe
 - ▶ Swansea: O.C. Zienkiewicz, B. Irons, R.Owen
- 1960 E. Wilson - první MKP program (freeware)
- 1965 Nastran; 1969 Ansys (hodnota společnosti ≈ 1.8 mld. \$); 1978 Abaqus
- dnes MKP aplikována pro řešení současných vědecko-technických problémů - komplexní návrh letadel, simulace výrobních procesů, nárazové testy automobilů, návrh spalovacích motorů, ochranných obálek jaderných reaktorů, seismická analýza přehrad, aplikace v lékařství - simulace provádění plastických operací, ...

Historický vývoj rychlosti počítačů



Z obrázku je patrný lineární nárůst rychlosti (logaritmické měřítko). Toho si prvně všiml G. Moore² v roce 1965 a formuloval empirické pravidlo, známé jako Moorův zákon: *Složitost součástí (počet tranzistorů na čipu a jejich výkon) se každý rok zdvojnásobí při zachování stejné ceny.*

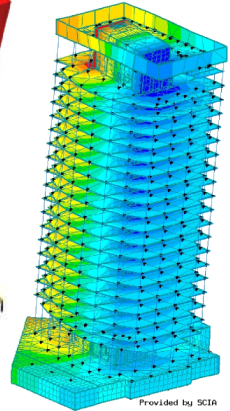
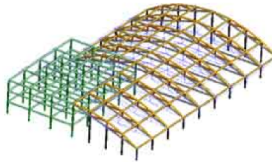
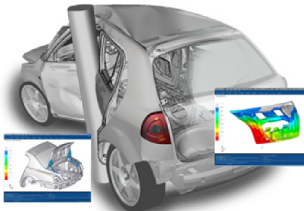
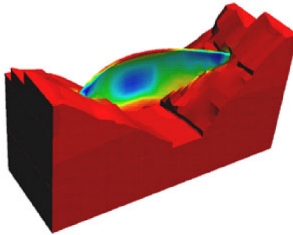
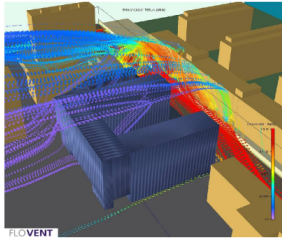
²Spoluzakladatel firmy Intel v roce 1968

Historický vývoj vybraných cen v USA³

	1968	2005
CDC 6600 (0.5-1 Mflop)	\$8000000	
512 Beowulf cluster, 2003 (1 Tflop)		\$500000
PC (200-1600 Mflops)		\$500-\$3000
MSc Engineer, starting salary	\$9000	\$51000
Assistant Prof.	\$11000	\$55000
Tuition at Northwestern (1 year)	\$1800	\$32000
GM, Ford sedan	\$3000	\$22000

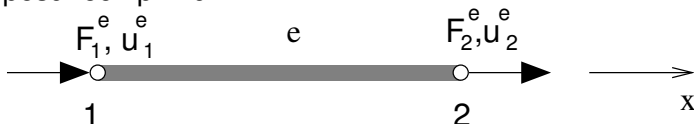
³bez vlivu inflace; převzato z Hughes-Belytschko FEM course 

Příklady Aplikace MKP



MKP: Přímé odvození pro tažené-tlačené pruty

- ▶ Postup analogický odvození deformační metody
- ▶ Spočívá ve vyjádření uzlových sil v závislosti na koncových posunech prvku



Máme k dispozici následující rovnice:

- ▶ Podmínky rovnováhy mezi vnitřními silami (σ) a uzlovými silami (F_1^e, F_2^e): $F_1^e = -\sigma A$, $F_2^e = \sigma A$
- ▶ Vztah mezi napětím a deformací (Hookův zákon) $\sigma = E\varepsilon$
- ▶ Definice deformace jako poměrného protažení prutu
$$\varepsilon = \frac{\Delta l}{l}$$

Pro napětí tedy platí

$$\sigma = E\varepsilon = E \frac{\Delta l}{l} = E \frac{u_2^e - u_1^e}{l}$$

A pro koncové síly konečně dostáváme

$$F_1^e = -\sigma A = \frac{EA}{l}(u_1^e - u_2^e); \quad F_2^e = \sigma A = \frac{EA}{l}(u_2^e - u_1^e)$$

Maticově to lze zapsat následovně:

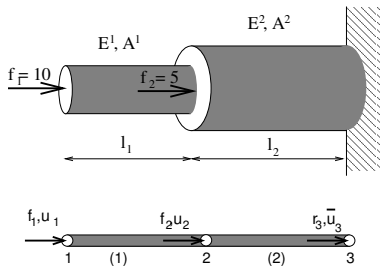
$$\begin{Bmatrix} F_1^e \\ F_2^e \end{Bmatrix} = \begin{bmatrix} k & -k \\ -k & k \end{bmatrix} \begin{Bmatrix} u_1^e \\ u_2^e \end{Bmatrix}, \quad \mathbf{F}^e = \mathbf{K}^e \mathbf{r}^e$$

kde $k = \frac{EA}{l}$.

$$\begin{Bmatrix} F_1^e \\ F_2^e \end{Bmatrix} = \begin{bmatrix} k & -k \\ -k & k \end{bmatrix} \begin{Bmatrix} u_1^e \\ u_2^e \end{Bmatrix}$$

- ▶ Pokud $u_1^e = u_2^e$ (posunutí prutu jako tuhého celku) nevzniknou žádné vnitřní síly a $F_1^e = F_2^e = 0$
- ▶ Matice tuhosti je symetrická a singulární
- ▶ Linearita je důsledkem předpokladů (linearita konstitutivních vztahů, geomerických a rovnovážných rovnic)

Sestavení matice tuhosti konstrukce - Lokalizace

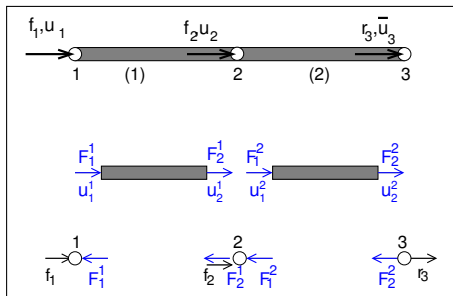


Pro každý prut máme k dispozici vztah mezi koncovými silami a posuny

$$\mathbf{F}^1 = \mathbf{K}^1 \mathbf{r}^1, \quad \mathbf{F}^2 = \mathbf{K}^2 \mathbf{r}^2$$

Podmínky rovnováhy v uzlech:

$$\begin{aligned} (1) \leftarrow: \quad & F_1^1 - f_1 = 0 \\ (2) \leftarrow: \quad & F_2^1 + F_1^2 - f_2 = 0 \\ (3) \leftarrow: \quad & F_2^2 - r_3 = 0 \end{aligned}$$



$$u_1^1 = u_1, u_2^1 = u_1^2 = u_2, u_2^2 = u_3$$

Uvážíme-li kompatibilitu posunutí mezi prvky, můžeme vyjádřit koncové síly pomocí uzlových posunů:

$$\begin{aligned} (1) \leftarrow: \quad & (k^1 u_1 - k^1 u_2) - f_1 = 0 \\ (2) \leftarrow: \quad & (-k^1 u_1 + k^1 u_2) + (k^2 u_2 - k^2 u_3) - f_2 = 0 \\ (3) \leftarrow: \quad & (-k^2 u_2 + k^2 u_3) - r_3 = 0 \end{aligned}$$

Maticově zapsáno:

$$\begin{array}{lcl} (1) \leftarrow: & \left\{ \begin{array}{c} F_1^1 \\ F_2^1 \\ 0 \end{array} \right\} & + \left\{ \begin{array}{c} 0 \\ F_1^2 \\ F_2^2 \end{array} \right\} = \left\{ \begin{array}{c} f_1 \\ f_2 \\ r_3 \end{array} \right\} \\ (2) \leftarrow: & & \\ (3) \leftarrow: & & \end{array}$$

Abychom mohli koncové síly vyjádřené na jednotlivých prutech snadno sčítat, vyjádříme je pomocí globálních posunutí

$$\left\{ \begin{array}{c} F_1^1 \\ F_2^1 \end{array} \right\} = \mathbf{K}_1^e \left\{ \begin{array}{c} u_1^e \\ u_2^e \end{array} \right\} = \mathbf{K}_1^e \left\{ \begin{array}{c} u_1 \\ u_2 \end{array} \right\}$$

$$\left\{ \begin{array}{c} F_1^2 \\ F_2^2 \end{array} \right\} = \mathbf{K}_2^e \left\{ \begin{array}{c} u_1^e \\ u_2^e \end{array} \right\} = \mathbf{K}_2^e \left\{ \begin{array}{c} u_2 \\ u_3 \end{array} \right\}$$

Lokální vektory koncových sil a posunutí a matici tuhosti rozšíříme přidáním nulových prvků tak, aby obsahovali všechny hodnoty pro celou konstrukci:

$$\underbrace{\begin{Bmatrix} F_1^1 \\ F_2^1 \\ 0 \end{Bmatrix}}_{\tilde{\mathbf{F}}^1} = \underbrace{\begin{bmatrix} k^1 & -k^1 & 0 \\ -k^1 & k^1 & 0 \\ 0 & 0 & 0 \end{bmatrix}}_{\tilde{\mathbf{K}}^1} \begin{Bmatrix} u_1 \\ u_2 \\ u_3 \end{Bmatrix}$$

$$\underbrace{\begin{Bmatrix} 0 \\ F_1^2 \\ F_2^2 \end{Bmatrix}}_{\tilde{\mathbf{F}}^2} = \underbrace{\begin{bmatrix} 0 & 0 & 0 \\ 0 & k^2 & -k^2 \\ 0 & -k^2 & k^2 \end{bmatrix}}_{\tilde{\mathbf{K}}^2} \begin{Bmatrix} u_1 \\ u_2 \\ u_3 \end{Bmatrix}$$

Pak můžeme podmínky rovnováhy elegantně zapsat jako

$$\tilde{\mathbf{F}}^1 + \tilde{\mathbf{F}}^2 = \mathbf{f}$$

Po dosazení za koncové síly pak

$$\underbrace{\begin{bmatrix} k^1 & -k^1 & 0 \\ -k^1 & k^1 & 0 \\ 0 & 0 & 0 \end{bmatrix}}_{\tilde{\mathbf{K}}^1} \underbrace{\begin{Bmatrix} u_1 \\ u_2 \\ u_3 \end{Bmatrix}}_{\mathbf{r}} + \underbrace{\begin{bmatrix} 0 & 0 & 0 \\ 0 & k^2 & -k^2 \\ 0 & -k^2 & k^2 \end{bmatrix}}_{\tilde{\mathbf{K}}^2} \underbrace{\begin{Bmatrix} u_1 \\ u_2 \\ u_3 \end{Bmatrix}}_{\mathbf{r}} = \underbrace{\begin{Bmatrix} f_1 \\ f_2 \\ f_3 \end{Bmatrix}}_{\mathbf{f}}$$

Maticově pak

$$\underbrace{(\tilde{\mathbf{K}}^1 + \tilde{\mathbf{K}}^2)}_{\mathbf{K}} \mathbf{r} = \mathbf{f}$$

Tento proces lze formalizovat. Definujme pro každý prvek tzv. distribuční matici \mathbf{L}^e , tak že platí $\mathbf{r}^e = \mathbf{L}^e \mathbf{r}$. Např. pro prvek 1 platí:

$$\mathbf{r}^1 = \left\{ \begin{matrix} u_1^1 \\ u_2^1 \end{matrix} \right\} = \underbrace{\begin{bmatrix} 1 & 0 & 0 \\ 0 & 1 & 0 \end{bmatrix}}_{\mathbf{L}^1} \left\{ \begin{matrix} u_1 \\ u_2 \\ u_3 \end{matrix} \right\} = \mathbf{L}^1 \mathbf{r}$$

To platí obdobně i pro vektor pravé strany:

$$\mathbf{F}^1 = \mathbf{L}^1 \tilde{\mathbf{F}}^1$$

Naše rovnice na prvku $\mathbf{K}^e \mathbf{r}^e = \mathbf{F}^e$ pak můžeme vyjádřit v globálních složkách jako

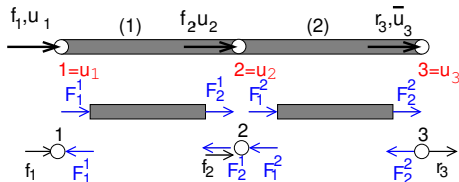
$$\mathbf{K}^e \mathbf{L}^e \mathbf{r} = \mathbf{F}^e$$

A přenásobením zleva maticí \mathbf{L}^{eT} nakonec dostáváme

$$\underbrace{\mathbf{L}^{eT} \mathbf{K}^e \mathbf{L}^e}_{\tilde{\mathbf{K}}^e} \mathbf{r} = \underbrace{\mathbf{L}^{eT} \mathbf{F}^e}_{\mathbf{f}}$$

Lokalizace - algoritmizace sestavení globální matice tuhosti

- Zavedení kódových čísel, reprezentujících očíslování neznámých (=posunů)

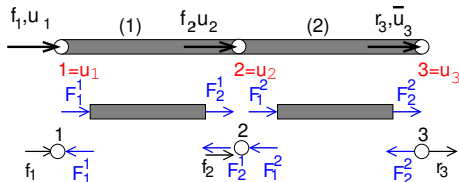


$$\begin{matrix} F_1^1 \\ F_2^1 \end{matrix} \begin{bmatrix} u_1^1 & u_2^1 \\ k^1 & -k^1 \\ -k^1 & k^1 \end{bmatrix} \begin{matrix} 1 \\ 2 \end{matrix} \quad \begin{matrix} F_2^2 \\ F_2^2 \end{matrix} \begin{bmatrix} u_1^2 & u_2^2 \\ k^2 & -k^2 \\ -k^2 & k^2 \end{bmatrix} \begin{matrix} 2 \\ 3 \end{matrix}$$

$$\begin{matrix} f_1 \\ f_2 \\ r_3 \end{matrix} \begin{bmatrix} 1 & 2 & 3 \\ k^1 & -k^1 & \\ -k^1 & k^1 + k^2 & -k^2 \\ & -k^2 & k^2 \end{bmatrix} \begin{Bmatrix} u_1 \\ u_2 \\ u_3 \end{Bmatrix} = \begin{Bmatrix} f_1 \\ f_2 \\ r_3 \end{Bmatrix}$$

Lokalizace - algoritmizace sestavení globální matice tuhosti

- ▶ Zavedení kódových čísel, reprezentujících očíslování neznámých (=posunů)
- ▶ Jejich přiřazení lokálním posunům a silám na prvcích

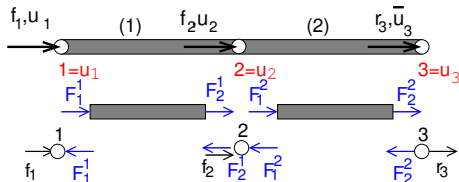


$$\begin{array}{c}
 F_1^1 \\
 F_2^1
 \end{array}
 \begin{bmatrix}
 u_1^1 & u_2^1 \\
 k^1 & -k^1 \\
 -k^1 & k^1
 \end{bmatrix}
 \begin{array}{c}
 1 \\
 2
 \end{array}
 \quad
 \begin{array}{c}
 F_2^2 \\
 F_3^2
 \end{array}
 \begin{bmatrix}
 u_1^2 & u_2^2 \\
 k^2 & -k^2 \\
 -k^2 & k^2
 \end{bmatrix}
 \begin{array}{c}
 2 \\
 3
 \end{array}$$

$$\begin{array}{c}
 1 \\
 2 \\
 3
 \end{array}
 \begin{bmatrix}
 k^1 & -k^1 & \\
 -k^1 & k^1 + k^2 & -k^2 \\
 & -k^2 & k^2
 \end{bmatrix}
 \begin{bmatrix}
 u_1 \\
 u_2 \\
 u_3
 \end{bmatrix}
 =
 \begin{bmatrix}
 f_1 \\
 f_2 \\
 r_3
 \end{bmatrix}$$

Lokalizace - algoritmizace sestavení globální matice tuhosti

- ▶ Zavedení kódových čísel, reprezentující očíslování neznámých (=posunů)
- ▶ Jejich přiřazení lokálním posunům a silám na prvcích
- ▶ Prvky lokální matice tuhosti se přičítají do prvku globální matice určeného kódovými čísly.



$$\begin{matrix} F_1^1 \\ F_2^1 \end{matrix} \begin{bmatrix} u_1^1 & u_2^1 \\ \begin{bmatrix} k^1 & -k^1 \\ -k^1 & k^1 \end{bmatrix} \end{bmatrix} \begin{matrix} 1 \\ 2 \end{matrix} \quad \begin{matrix} F_2^2 \\ F_3^2 \end{matrix} \begin{bmatrix} u_1^2 & u_2^2 \\ \begin{bmatrix} k^2 & -k^2 \\ -k^2 & k^2 \end{bmatrix} \end{bmatrix} \begin{matrix} 2 \\ 3 \end{matrix}$$

$$\begin{bmatrix} k^1 & -k^1 & \\ -k^1 & k^1 + k^2 & -k^2 \\ & k^2 & k^2 \end{bmatrix} \begin{Bmatrix} u_1 \\ u_2 \\ u_3 \end{Bmatrix} = \begin{Bmatrix} f_1 \\ f_2 \\ f_3 \end{Bmatrix}$$

Kódová čísla tedy představují mapování mezi lokálním číslováním na prvku a globálním číslování pro celou konstrukci

Formálně pak píšeme $\mathbf{K}^g = \sum_i \tilde{\mathbf{K}}^i$

Obdobný proces i pro vektory

Zavedení okrajových podmínek

- ▶ Matice tuhosti konstrukce je singulární - obsahuje posunutí tělesa jako tuhého celku
- ▶ Zavedením okrajových podmínek dojde k regularizaci soustavy
- ▶ Rozdělme podmínky rovnováhy na ty, které přísluší volným a předepsaným stupňům volnosti

$$\begin{bmatrix} \mathbf{K}_{uu} & \mathbf{K}_{up} \\ \mathbf{K}_{up} & \mathbf{K}_{pp} \end{bmatrix} \begin{Bmatrix} \mathbf{u} \\ \bar{\mathbf{u}} \end{Bmatrix} = \begin{Bmatrix} \mathbf{f} \\ \mathbf{r} \end{Bmatrix}$$

- ▶ Z prvního řádku můžeme spočítat neznámý vektor posunů:
 $\mathbf{u} = \mathbf{K}_{uu}^{-1}(\mathbf{f} - \mathbf{K}_{up}\bar{\mathbf{u}})$
- ▶ A z druhé rovnice můžeme následně dopočítat neznámé reakce: $\mathbf{r} = \mathbf{K}_{up}\mathbf{u} + \mathbf{K}_{pp}\bar{\mathbf{u}}$.